Эффективные асимптотики профилей длинных волн, порожденных коротко действующими источниками, локализованными в упругом основании.

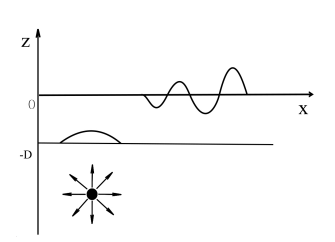
С.Ю.Доброхотов, Х.Х.Ильясов, О.Л.Толстова

Институт проблем механики им А.Ю.Ишлинского РАН, Московский физико-технический институт

16 ноября 2020 г.

Постановка задачи (модель Подъяпольского)

Kanamori (1972), Yamashita, Sato (1974), Pod'japolskii (1978), Sabatier (1983), Fragela (1989), Zvolinskii, Nikitin, Sekerzh-Zenkovich (1991), Gusjakov-Chubarov (1989), Dobrokhotov, Tolstova, Chudinovich (1993), Griniv, Dobrokhotov, Shkalikov (2000), Dobrokhotov, Tolstova, Sekerzh-Zenkovich, Vargas (2018).



Упругая деформируемая среда, описываемая вектором перемещений $U(x,z,t)=u_1,u_2,u_3,$ занимает нижнее полупространство z<-D. Над ней располагается слой идеальной незавихренной жидкости -D< z<0, описываемый потенциалом перемещений $\Psi(x,z,t),$ где $x\in R^2$ - горизонтальные, z - вертикальная координаты.

В упругой среде действует локализованный в пространстве и во времени источник f(x,z,t).

Перемещения упругой среды определяются уравнениями Ламе, потенциал жидкости –уравнением Лапласса:

$$c_t^2 \nabla^2 U + (c_t^2 - c_t^2) \nabla (\operatorname{div} U) + \frac{\partial^2 f}{\partial t^2} = \frac{\partial^2 U}{\partial t^2}, \quad z \leq -D. \qquad \nabla^2 \Psi = 0, \quad -D < z < 0,$$

Граничные условия

на свободной границе жидкости: z=0

$$\frac{\partial^2 \Psi}{\partial t^2} + g \frac{\partial \Psi}{\partial z} = 0,$$

на границе раздела жидкость – упругая среда: z = -D:

$$\begin{split} \frac{\partial u_i}{\partial z} + \frac{\partial u_3}{\partial x_i} &= 0, \quad i = 1, 2, \\ \left(c_i^2 - c_t^2\right) \left(\frac{\partial u_1}{\partial x_1} + \frac{\partial u_2}{\partial x_2} + \frac{\partial u_3}{\partial z}\right) + 2c_t^2 \frac{\partial u_3}{\partial z} &= \rho \frac{\partial^2 \Psi}{\partial t^2} + (\rho - 1)u_3, \\ \frac{\partial \Psi}{\partial z} &= u_3, \end{split}$$

и U
ightarrow 0 при $z
ightarrow -\infty$

g — ускорение свободного падения, $m{\rho}=
ho_w/
ho_c \approx rac{1}{3}, \
ho_w$ и ho_c —плотности жидкости и упругой среды, c_l , c_t — скорости продольной и поперечной волн в упругой среде.

Переход от U,Ψ к стандартной задаче Коши

Определим вектор

$$\Upsilon = \begin{pmatrix} \psi_W(x_1, x_2, t) = \Psi|_{z=0} \\ \psi_D(x_1, x_2, t) = \Psi|_{z=-D} \\ u_1(x_1, x_2, z, t) \\ u_2(x_1, x_2, z, t) \\ u_2(x_1, x_2, z, t) \end{pmatrix}$$

в пространстве $\mathcal{M}=\{z=0\}\bigcup\{z=-D\}\bigcup\{z\leq -D(x)\}\sim\mathbb{R}^2\oplus\mathbb{R}^2\oplus\mathbb{R}^3\oplus\mathbb{R}^3$ со скалярным произведением (энергетической нормой)

$$(\Upsilon^1,\Upsilon^2) = \int_{\mathbb{R}^2_x} \left(\int_{-\infty}^{-D} \langle \bar{U}^1, U^2 \rangle dz \right) dx + \rho \int_{\mathbb{R}^2_p} \langle \bar{\tilde{\psi}}(p,t), R(p) \tilde{\psi}(p,t) \rangle dp,$$

где - комплексное сопряжение,

 $\tilde{\cdot}$ -преобразование Фурье по переменным (x_1, x_2) с двойственными им переменными (p_1, p_2) ,

 $\langle \cdot, \cdot \rangle$ – евклидово вещественное произведение векторов

$$R = \begin{pmatrix} |p| \coth(|p|D) & -|p|/\sinh(|p|D) \\ |p|/\sinh(|p|D) & -|p| \coth(|p|D) \end{pmatrix}.$$

тогда для Т:

$$\frac{\partial^2 \Upsilon}{\partial t^2} = \hat{\mathcal{L}} \Upsilon + \frac{\partial^2 F(x, z, t)}{\partial t^2}, \qquad \Upsilon \bigg|_{t=0} = \Upsilon^0(x, z), \quad \frac{\partial \Upsilon}{\partial t} \bigg|_{t=0} = \Upsilon^1(x, z). \quad (1)$$

Будем рассматривать задачу Коши с нулевыми начальными условиями

$$U|_{t=0} = \frac{\partial U}{\partial t}\Big|_{t=0} = 0, \quad \psi_{W,D}|_{t=0} = \frac{\partial \psi_{W,D}}{\partial t}\Big|_{t=0} = 0, \tag{2}$$

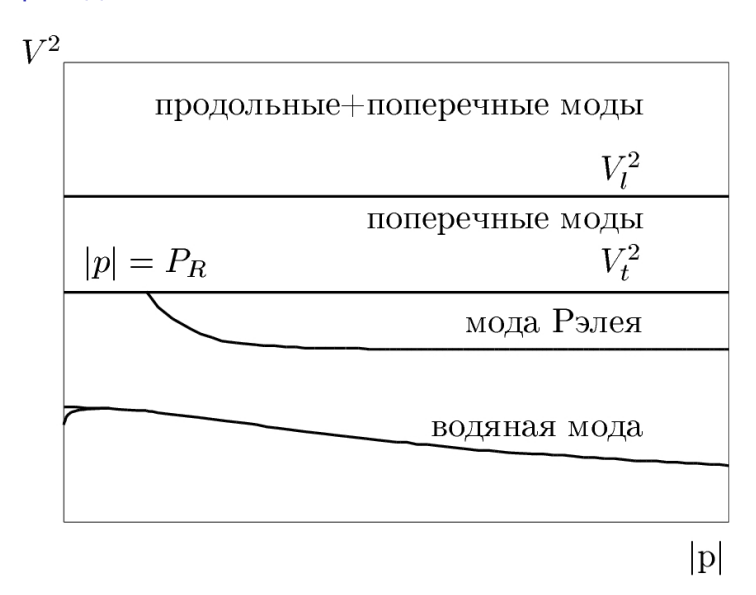
для получения эффективных формул, считаем

$$f(x,z,t) = \mathbf{a}G(t)\mathbf{e}(z)V(x)e^{-(z-z_0)^2/(2b_3^2)},$$

$$V(x) = (1 + (x_1/b_1)^2 + (x_2/b_2)^2)^{-3/2},$$

$$\mathbf{a} = (a_1, a_2, a_v)$$
 –вектор амплитуд, $\mathbf{e}(z) = 1, z < -D - 2\delta, \mathbf{e}(z) = 0, z > -D - \delta$

Спектр задачи



Водяная мода и мода Рэлея $\lambda_{W,R} \geq 0 \; (\omega_{W,R}(p) = \sqrt{\lambda_{W,R}})$ определяются из

$$\begin{split} \Big(\lambda - g|\rho|\tanh(|\rho|D)\Big) \Big(-4\rho^2 k_t k_l + (k_t^2 + \rho^2)^2 - g\frac{\lambda}{c_t^4}(\rho - 1)k_l\Big) + \\ \rho \frac{\lambda^2}{c_t^4} k_l \Big(g - \lambda \frac{\tanh(|\rho|D)}{|\rho|}\Big) = 0 \end{split}$$

где
$$k_t = \sqrt{p^2 - \lambda/c_t^2}, \ k_l = \sqrt{p^2 - \lambda/c_l^2}$$

Приближенные решения

Водяная мода

$$\omega^2pprox g\left(1-rac{g
ho}{g+2c_t^2|p|}
ight)|p| anh(D|p|)$$

мода Рэлея

$$|p| pprox rac{gv^2\sqrt{1-v^2/c_l^2}}{4c_t^4-4c_t^2v^2+v^4-4c_t^4\sqrt{1-v^2/c_l^2}\sqrt{1-v^2/c_t^2}}, \quad v^2 = \omega^2/p^2$$



Для безразмерной функции G(t) (зависимости возмущения от времени) предполагаем:

- $G(t) = \lambda G_0(\lambda t)$,
- $G_0(au)$ гладкая функция на полупрямой $[0,\infty)$,
- $G_0(au)$ стремится к некоторой константе $\mathfrak G$, быстрее чем $1/ au^\kappa$, $\kappa>1$, при $au\to\infty$,
- $G_0(\tau) = 0, \quad t \leq 0.$

Если $\mathfrak{G}\neq 0$, при $t\to\infty$, то в упругом основании имеются остаточные смещения, если $\mathfrak{G}=0$, при $t\to\infty$ –остаточные смещения отсутствуют. Для удобства представим

$$G_0(t) = \int_0^t g(\tau) d\tau$$

В дальнейшем будем изучать следующие примеры для функции g

- a) $g(\tau) = ae^{-\tau}(\sin(\alpha\tau + \phi) \sin(\phi)), \quad \alpha > 0,$ $a = (\alpha^2 + 1)(\alpha\cos(\phi) - \alpha^2\sin(\phi))$
- b) $g(\tau)=ae^{-\tau}\mathcal{P}(\tau)$, где $\mathcal{P}(\tau)=\sum_{k=1}^n\mathcal{P}_k/k\tau^k$ -полином степени n, и $\sum_{k=1}^n\mathcal{P}_k=1$.
- c) $g(\tau) = ae^{-\tau}(\alpha\cos(\alpha\tau + \phi) \sin(\alpha\tau + \phi) + \sin(\phi))$

Решение задачи в виде интеграла Дюгамеля

С помощью интеграла Дюгамеля решение задачи (1), (2) выражается через решение

$$\mathcal{W}_{tt} = \hat{L}, \qquad \mathcal{W}|_{t=\tau} = \frac{\partial F}{\partial t}(\tau, x, z), \quad \mathcal{W}_{\tau}|_{t=\tau} = 0,$$

по формуле

$$\Upsilon = \int_0^t \mathcal{W}(t,\tau,x,z) \, d\tau.$$

С использованием ранее выведенного решения задачи с начальными условиями (Доброхотов С.Ю, Ильясов Х.Х., Секерж-Зенькович С.Я., Толстова О.Л.) получаем

$$\eta = -\frac{1}{4\pi} \int_{0}^{t} \left[\sum_{\pm} \int_{\mathbb{R}_{p}^{2}} e^{i(\langle p, x \rangle \pm (t-\tau)\omega(|p|))} \frac{\partial C_{W}}{\partial \tau}(p, \tau) \times \frac{i\omega^{4}(|p|)A}{2c_{t}^{2} \cosh(|p|D)(\omega^{2}(|p|) - \mathbf{g}|p| \tanh(|p|D))} dp \right] d\tau, \quad (3)$$

где

$$\begin{split} A &= \left(\frac{p^2(k_t^2 + p^2)}{2k_t} + \frac{(k_t^2 + p^2)^2(k_l^2 + p^2)}{8k_l^3} - \frac{p^2(k_t^2 + p^2)}{k_l} \right. \\ &\quad + \frac{\rho\omega^4|p|\tanh(|p|D)}{4c_t^4(\omega^2 - \mathbf{g}|p|\tanh(|p|D))^2} \left(\mathbf{g}^2 - 2\mathbf{g}\frac{\omega^2}{|p|}\tanh(|p|D) + \frac{\omega^4}{p^2}\right) \right)^{-1/2}, \end{split}$$

$$C_{W} = -iAb_{1}b_{2}e^{-|p|\mathbf{b}(\varphi)}G(\lambda\tau) \times \\ \left((ik_{t}\langle p, a \rangle - p^{2}a_{v})e^{k_{t}(z_{0}+D)}f_{t} + \frac{k_{t}^{2} + p^{2}}{2k_{l}}(-i\langle p, a \rangle + k_{l}a_{v})e^{k_{l}(z_{0}+D)}f_{l} \right) \\ \mathbf{b}(\varphi) = \sqrt{b_{1}^{2}\cos^{2}\psi + b_{2}^{2}\sin^{2}\psi}, \quad \langle p, a \rangle = p_{1}a_{1} + p_{2}a_{2}, \\ f_{t,l} \approx b_{3}\sqrt{2\pi}e^{\frac{b_{3}^{2}k_{t,l}^{2}}{2}}\mathbf{e}(z_{0} + b_{3}^{2}k_{t,l}) \quad k_{t} = \sqrt{p^{2} - \lambda/c_{t}^{2}}, \quad k_{l} = \sqrt{p^{2} - \lambda/c_{l}^{2}}.$$

Приближенное решение дисперсионного соотношения для водяной моды:

$$\omega^2 pprox \mathbf{g} \left(1 - \frac{\mathbf{g} \boldsymbol{\rho}}{\mathbf{g} + 2c_*^2 |\boldsymbol{p}|} \right) |\boldsymbol{p}| \tanh(D|\boldsymbol{p}|), \qquad \boldsymbol{\rho} = \rho_w/\rho_e$$

4□ > 4団 > 4 豆 > 4 豆 > 豆 めの()

Поменяем в (3) порядок интегрирования по времени с интегралом по p и представим интеграл в виде суммы

$$\int_{0}^{t} e^{\mp i\tau\omega(|\rho|)} \frac{\partial G(\tau)}{\partial \tau} d\tau = \int_{0}^{\infty} e^{\mp i\tau\omega(|\rho|)} \frac{\partial G(\tau)}{\partial \tau} d\tau - \int_{t}^{\infty} e^{\mp i\tau\omega(|\rho|)} \frac{\partial G(\tau)}{\partial \tau} d\tau$$

Ранее было показано, что второй интеграл быстро убывает при больших t и им можно пренебречь.

В результате получаем

$$\begin{split} &\int_{0}^{t} e^{-i\tau\omega(|p|)} \frac{\partial G(\tau)}{\partial \tau} d\tau = \int_{0}^{\infty} e^{-i\frac{\omega(|p|)}{\lambda}\tau} g(\tau) d\tau = \sqrt{2\pi} \tilde{g}^{+} \left(\omega(|p|)/\lambda\right) \\ &\int_{0}^{t} e^{i\tau\omega(|p|)} \frac{\partial G(\tau)}{\partial \tau} d\tau = \int_{0}^{\infty} e^{i\frac{\omega(|p|)}{\lambda}\tau} g(\tau) d\tau = \sqrt{2\pi} \tilde{g}^{-} \left(\omega(|p|)/\lambda\right) \end{split}$$

 $ilde{g}^+ = ar{ ilde{g}}^- = ar{g}$, где $ilde{g}$ — Фурье преобразование функции g, $ar{\cdot}$ — комплексное сопряжение.

Приближение дальнего поля

Переходим к полярным координатам (ϱ,ψ) и считаем, что точка наблюдения находится далеко от источника. Применим метод стационарной фазы по ψ и учтем, что слагаемое $-(|x|\varrho-t\omega(\varrho))$ вносит вклад в асимптотику $O(|x|^{-2})$ и им можно пренебречь. В результате получим:

$$\begin{split} \eta_{\textit{F}} &= \sqrt{\frac{\pi}{2}} \frac{b_1 b_2 b_3 \mathbf{g}}{c_l^2 \sqrt{|\mathbf{x}|}} \mathrm{Re} \Big[\int_0^\infty \frac{\mathrm{e}^{\mathrm{i} \left(|\mathbf{x}|_{\varrho} - \mathrm{t} \omega(\varrho) - \pi/4 \right)} \mathrm{e}^{-\varrho \left(\mathbf{b}(\varphi) - \mathbf{z}_0 - \mathbf{D} \right)} \sqrt{\varrho} \tanh^2(\mathbf{D}\varrho)}{\cosh(\mathbf{D}\varrho) (\rho + \tanh(\mathbf{D}\varrho) / \cosh^2(\mathbf{D}\varrho))} \times \\ &\times e^{\frac{b_3^2 \varrho^2}{2}} \tilde{g} \left(\frac{\omega(\varrho)}{\lambda} \right) \left(a_{\textit{v}} \big(c^2 - \mathcal{R} \big) + i a_{\textit{h}} \big(\varphi \big) \big(1 + \mathcal{R} \big) \Big) \mathbf{e} \big(z_0 + b_3^2 \varrho \big) \right) d\varrho \Big], \end{split}$$

где
$$\mathcal{R}=(c^2-1)\varrho(D+b_3^2\varrho+z_0),\ c=c_l/c_t,\ a_h(\varphi)=a_1\cos\varphi+a_2\sin\varphi.$$

"Срезающая функция" $\mathbf{e}(z_0+b_3^2\varrho)$ дает только сходимость интеграла, практически не влияя на результат.

Случай длинных волн

Считаем $|D\varrho|$ — мало, $b_j + |z_0| \gg D$, $\sinh(D\varrho) \approx D\varrho$, $\cosh^2(D\varrho) \approx 1$, $\omega \approx \tilde{\omega} = \varrho \sqrt{\mathbf{g}D} \sqrt{1 - \frac{g\rho}{\mathbf{g} + 2c_t^2|\rho|}} \approx \varrho \sqrt{\mathbf{g}D}$.

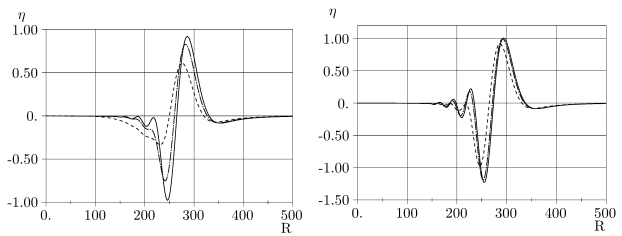
Отбрасываем $e^{\frac{b_3^2\varrho^2}{2}}$, $b_3\varrho$ в множителе \mathcal{R} , и "срезающую" функцию. В результате получаем:

$$\begin{split} \eta_{L} &= \sqrt{\frac{\pi}{2}} \frac{b_{1} b_{2} b_{3} \mathbf{g} D^{2}}{c_{l}^{2} \sqrt{|\mathbf{x}|}} \mathrm{Re} \Big[\int_{0}^{\infty} \varrho^{5/2} \mathrm{e}^{\mathrm{i} \left((|\mathbf{x}| - t \mathbf{C})\varrho - \pi/4 \right)} \frac{\mathrm{e}^{-\varrho(\mathbf{b}(\varphi)) + \mathbf{h}}}{(\rho + \mathrm{D}\varrho)} \times \\ &\times \tilde{\mathbf{g}} \left(\frac{\mathbf{C}\rho}{\lambda} \right) \Big(a_{\nu} \big(c^{2} - \mathcal{R} \big) + i a_{h}(\varphi) \big(1 + \mathcal{R} \big) \Big) \Big) d\varrho \Big], \end{split}$$

где $\mathcal{R} \approx -\varrho(c^2-1)\mathbf{h}, \quad \mathbf{C} = \sqrt{\mathbf{g}D}$ и $\mathbf{h} = -z_0 - D$ – глубина залегания источника.

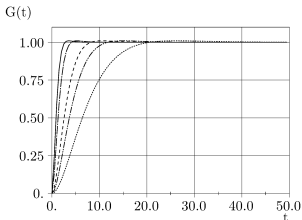
Результаты расчетов

Зависимость возмущения от времени $g(\xi) = ae^{-\lambda t}(\sin(\lambda \alpha t + \varphi) - \sin(\varphi))$

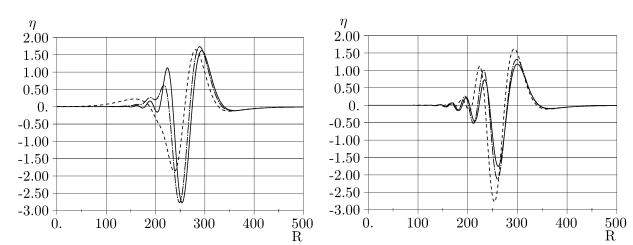


Результаты расчета возвышения жидкости, $\lambda = 0.5, 0.35, 0.2$ – слева,

 $\lambda = 1.5, 1.0, 0.5$ — справа.

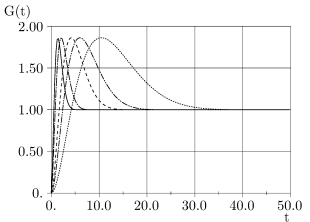


Зависимость возмущения от времени, $\lambda = 1.5, 1.0, 0.5, 0.35, 0.2$. Параметры для расчета: b = 2, |z0| = 43, t = 60, $\alpha = 0.3$.



Результаты расчета возвышения жидкости, $\lambda = 0.5, 0.35, 0.2$ – слева,

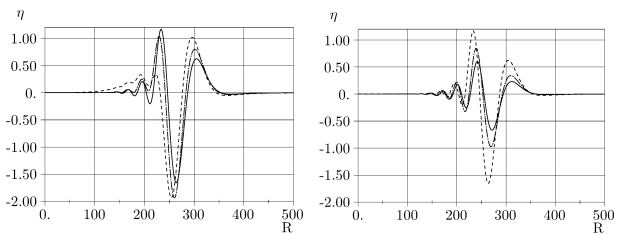
 $\lambda = 1.5, 1.0, 0.5$ — справа.



Зависимость возмущения от времени, $\lambda=1.5,1.0,0.5,0.35,0.2$. Параметры для расчета: $b=2,\ |z0|=43,\ t=60,\ \alpha=0.75.$

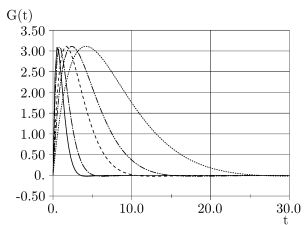
Зависимость возмущения от времени

$$g(\tau) = ae^{-\tau}(\alpha\cos(\alpha\tau + \phi) - \sin(\alpha\tau + \phi) + \sin(\phi))$$



Результаты расчета возвышения жидкости, $\lambda = 0.5, 0.35, 0.2$ – слева,

$$\lambda = 1.5, 1.0, 0.5$$
 – справа.



Зависимость возмущения от времени, $\lambda=1.5,1.0,0.5,0.35,0.2$. Параметры для расчета: $b=2,\ |z0|=43,\ t=60,\ \alpha=0.3$.